

## 水質保全を考慮した地域負荷配分

(株) 日本水道コンサルタント

萩原 良巳・上田 育世

中川 努一・辻本 善博

### 1. はじめに

従来の地域・都市計画においては、環境汚染を外部化した経済面中心の評価によって計画のフレームが作成され、水質環境を考慮するのは、このフレームの結果公共水域に流出する負荷がその水域の水質環境基準を満足するか否かの検討のみであった。そして水質環境を満足しない場合は下水道整備をはじめとする各種施策によって対応し、地域・都市計画フレームの根本的変更までフィードバックされることは少ないようである。

そこで、本稿では、公共水域の水質環境を計画の要素として取り扱い、公共水域の水質保全という観点から地域・都市計画のフレームを作成し、このフレーム内で経済活動の最適化を試みるというプロセスの一環として、水質環境を考慮した地域負荷配分について述べる。すなわち、計画対象地域の公共水域内の複数個の水質環境基準点での基準等を制約として、地域活動の最大化をはかるには、計画対象地域へ許容発生負荷量をどのように配分するのが合目的かという地域負荷配分問題の線型計画法による定式化およびモデル流域での演算例を示す。

まず、2. で上述の地域負荷配分問題の定式化を行ない、その双対問題に対する若干の検討を試みる。ついで、3. で地域負荷配分の線型計画法によるモデル演算結果を示すが、このとく、制約式の変更・追加による結果の変化についても考察する。なお、本問題においては、沿岸の各負荷投入点か(海域の)各基準点に与える影響を示す影響マトリックスを、海域の汚濁シミュレーションから若干の仮定(線型性の仮定)のもとで作成することにより汚濁シミュレーションの内部化を行なっている。

表.1 記号の説明

### 2. 地域負荷配分モデル<sup>2)(3)</sup>

図.1に示すようなく、沿岸にいくつかの地区が存在しており、複数個の地区より負荷を取り入れている河川が数本流入している海域および河川の上流域を考察の対象とする。なお、各地区的発生負荷量としては、家庭分( $k=1$ )、工場分( $k=2$ )の2種を考えることとする。(通常、下水道計画においては、前記2者の他に家畜等の発生負荷量を考えるが、家畜等の発生負荷量は演算対象地域ではなく前記2者に較べて小さいので、簡単化のため省略した。)

#### 2-1. システム方程式

ここでは、図.1に示したような流域システムにおける負荷移動の定式化を行なう。なお、記号の説明は表.1にまとめて示す。

(1) 流達負荷量関係式：  $i$  河川の地区からの流達負荷量は、その地区的発生負荷量と流達率により次式で表わされるものとする。

$$y_{ijk} = \sum_k \alpha_{ijk} \cdot z_{ijk} \quad (1)$$

なお、ここで下水道整備による負荷の人為的カットを考えると、(1)式は、 $\beta_{ijk}$  を  $i$  河川の地区化種の人為的カット率として、

$$y_{ijk} = \sum_k \alpha_{ijk} \cdot (1 - \beta_{ijk}) \cdot z_{ijk} \quad (1')$$

と修正される。

(ii) 河川負荷移動式：  $i$  河川流域の各地区からの流達負荷量の河川での移動および海域への流出を表わすモデル式は、流出率でもって河川の自浄作用

$\alpha_{ijk}$	$i$ 投入点(河川)の地区化種発生負荷量
$\beta_{ijk}$	$i$ 投入点(河川)の地区流達負荷量
$\gamma_{ijk}$	$i$ 投入点(河川)の地区流出負荷量
$\delta_{ijk}$	$i$ 投入点(河川)地区化種流達率
$\epsilon_{ijk}$	$i$ 投入点(河川)の地区から(+)側島への流出率
$\zeta_{ijk}$	$i$ 投入点(河川)投入負荷量
$\gamma'$	BOD-COD変換係数
$\omega$	単位変換係数
$C_R$	海域の各環境基準点の水質
$\alpha_{ik}$	$i$ 投入点の各環境基準点への影響無効
$C_{Rk}$	水質環境基準点の基準値
$\gamma_{ik}$	$i$ 河川の地区での許容流出負荷量
$\delta_1, \delta_2$	対象地域ごとの家庭と工場の発生負荷量の比率の下限、上限
$\alpha_{ijk}$	$i$ 投入点(河川)の地区化種の負荷原単位(単位水量当)
$\beta_{ijk}$	$i$ 投入点(河川)の地区化種の負荷原単位(単位土壟当)
$\epsilon_{ijk}$	$i$ 投入点(河川)の地区化種の負荷原単位(単位エネルギー当)
$SW^*$	利用可能水資源量
$ST^*$	工場用地供給可能量
$SE^*$	エネルギー供給可能量
$\phi_{ijk}$	$i$ 投入点(河川)の地区化種の(活動量に対する)ウェイト

等を代表せることにより、次式となる。(ここでモデルは、平均的モデルであるため河川での拡散等は考えない。)

$$L_{ij} = y_{ij}, \quad L_{ij} = y_{ij} + b_{ij,j-1} \cdot L_{ij,j-1} \quad (2)$$

(2)式より  $J$  とするにより、海域への流出負荷量は、

$$L_{ij} = \sum_{j=1}^J \alpha_{ij} \cdot y_{ij}, \quad \alpha_{ij} = \frac{1}{J} \cdot b_{ij} \quad (b_{ij} = 1.0) \quad (3)$$

と表わされる。

(iii) 流出負荷-投入負荷関係式：通常、河川、海域の汚濁指標として、それを先  $BOD$ ,  $COD$  が用いられる。本稿でもそれを従って、各地区の発生負荷量、流速負荷量および河川の流出負荷量は  $BOD$  で、海域への投入負荷量は  $COD$  とする。このため、河川の流出負荷量と海域への投入負荷量の間に次式で表わされる変換を考える。

$$x_i = \omega \cdot J \cdot L_{ij} \quad (4)$$

(iv) 投入負荷-水質関係式：海域へ投入された負荷は、移流伝播、拡散混合等により海域全体に広がっていく。この過程は拡散方程式によって表現できるが<sup>4)</sup>、ここでは、各投入点からの投入負荷量と各水質環境基準点との水質との間に、次式のような線型の関係式を仮定する。

$$C_R = \sum_i \alpha_{Ri} \cdot x_i \quad (5)$$

ここに、影響係数  $\alpha_{Ri}$  は、流速、水深、拡散係数等の係数と考えられるが、その決定方法および(5)式の線型性的検証は3. で行なう。

## 2-2. 制約条件式・目的函数

(i) 制約条件式：本モデルの制約条件としては、種々の制約が考えられるが、ここでは以下のものを考える。

$$C_R \leq C_R^* \quad (6)$$

$$L_{ij} \leq L_{ij}^* \quad (7)$$

$$\delta_1 \leq \frac{\sum_i \sum_j Z_{ij1}}{\sum_i \sum_j Z_{ij2}} \leq \delta_2 \quad (8)$$

$$\sum_i \sum_j Z_{ij1} / u_{ij1} \leq \rho W^* \quad (9)$$

$$\sum_i \sum_j Z_{ij2} / u_{ij2} \leq \rho T^* \quad (10)$$

$$\sum_i \sum_j Z_{ij2} / e_{ij2} \leq \rho E^* \quad (11)$$

(6), (7)式は、それを先海域、河川での(水質)環境基準を満足せねばならぬという制約であり、(8)式は、对象地域での家庭( $k=1$ )と工場( $k=2$ )の発生負荷量の比率の上・下限を抑える制約であり、(9), (10), (11)式は、それを先水資源、土地、エネルギーからの制約である。なお、土地、エネルギーからの制約は、工場( $k=2$ )についてのみ考えている。

(ii) 目的函数：目的函数としては、地域の活動量を最大にするという考え方のもので、各地区の発生負荷量のウエイト付総和を最大にするという次式を採用することとする。

$$J = \sum_i \sum_k \rho_{ik} \cdot Z_{ijk} \quad (12)$$

なお、ウエイト  $\rho_{ik}$  は、各地区の発生負荷量を人間の活動量、例えば、人口、工業出荷額等に変換する係数と考えることができる。

## 2-3. 地域負荷配分問題の双対問題の考察

2-1, 2-2で、地域負荷配分モデルは、(1)～(5)式をシステム方程式とし、(6)～(11)式を制約式、(12)式を目的函数とするモデルとして定式化され、制約式、目的函数はすべて各地区各種の発生負荷量  $Z_{ijk}$  に関する線型となる。そこで、本モデルは、制約条件(6)～(11)式のもとで目的函数(12)式を最大とするよう各地区各種の発生負荷量  $Z_{ijk}$  を求めるという線型計画法の問題となる。

ここで上記の地域負荷配分問題の双対問題の考察を行なうが、簡単化のため制約条件(1)～(2)は海域の水質環境

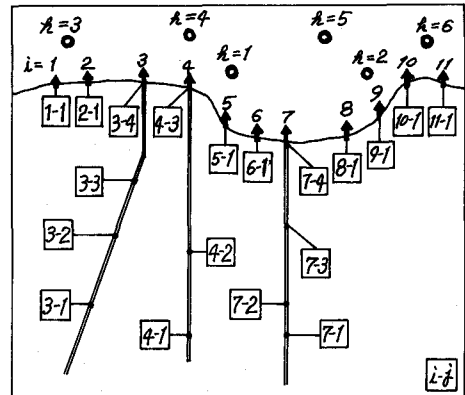


図.1 流域システム図

基準による制約(6)式のみを考えることとする。すると地域負荷配分問題は、(6)式に(1)~(5)式を代入し、  
 $A_{ijk\alpha} = c_{ijk} \cdot d_{ijk} \cdot d_{ik\alpha} \cdot u_{ik}$  とおくことにより、

$$\sum_k \sum_{j \in E} A_{ijk\alpha} \cdot z_{ijk} \leq C_{ik}^* \quad (14), \quad z_{ijk} \geq 0 \quad (15)$$

のもとで目的函数(12)式 ( $J = \sum_k \sum_{j \in E} g_{ijk} \cdot z_{ijk}$ ) を最大とする  $z_{ijk}$  を求める問題となる。この問題(主問題)に対する双対問題は、

$$\sum_k A_{ijk\alpha} \cdot u_{ik} \geq g_{ijk} \quad (16), \quad u_{ik} \geq 0 \quad (17)$$

$$\text{のもとで目的函数 } J = \sum_k C_{ik}^* \cdot u_{ik} \quad (18)$$

を最小とする  $u_{ik}$  を求める問題となる。以下、この双対問題の解説を試みる。

まず、 $A_{ijk\alpha}$  は本  $(i, j, k)$  地区での単位負荷発生による各基準点での水質上昇量を示し、 $g_{ijk}$  は本  $(i, j, k)$  地区で単位負荷発生を許すことによって得られる活動量を示しており、これは活動量を評価した五つの価値と考えることができる。ここで、ある地区で負荷発生を許すことによりある活動量を得ることができるが、同時に海域での水質上昇を来たし、海域の水質を一種の資源であると考えることにより、その資源(水質資源)を使用するという因式を抜くことができる。すると、 $g_{ijk}$  が活動量であることにより(16)式中の  $A_{ijk\alpha} \cdot u_{ik}$  を活動量を示すものでなければならず、 $u_{ik}$  は各基準点での単位水質上昇(水質資源の使用)により得られる活動量を示すものであり、活動量を評価した各基準点の水質(資源)の価値と考えることができます。

そうすると、(16)式の左辺は、 $(i, j, k)$  地区で単位負荷発生を許すことにより得られる各基準点での水質(資源)を価値  $u_{ik}$  で評価したときの総活動量となり、制約式(16)式は、この総活動量が実際に  $(i, j, k)$  地区での単位負荷発生により得られる活動量を下まわることはならないという条件を表している。一方、目的函数(18)式は、 $u_{ik}$  で評価したときの地域が持っている水質(資源)により得られる総活動量を示している。

### 3. 地域負荷配分モデルの適用例

ここでは、2. 述べた負荷配分モデルの適用例について記す。モデルの適用は、対象地域として A 湾を選び、まず、3-1. で(5)式の影響係数の決定および線型性の検証について述べ、ついで 3-2. で演算ケースおよび入力データについて述べ、3-3. で演算結果を示し、その考察を行なう。なお、演算対象地域(A 湾)は、図 1 にその流域システム図を示したように、11 個の負荷投入点(うち 3 個は河川)、6 個の海域の水質環境基準点、19 個の地区より成り立っている。

#### 3-1. 影響マトリックスの作成<sup>2) 3)</sup>

まず、温度、流れ係数、温度程式、連続式より海域の潮流計算を、拡散方程式により汚濁計算を行ない、その後潮流、汚濁計算により(5)式の影響係数  $\alpha_{ik\alpha}$  を決定した。すなわち、 $i$  投入点より単位負荷量(1kg/sec)を投入したときの各水質環境基準点での水質と  $i$  の  $\alpha_{ik\alpha}$  を決定した。ここで、影響係数  $\alpha_{ik\alpha}$  を行列で表わしたもののが影響マトリックスとよぶことにとする。このようにして作成した影響マトリックスを表 2 に示す。影響マトリックスの列は、 $i$  投入点が海域の各水質環境基準点にどれだけの影響を与えるかを示し、行は各水質環境基準点への各投入点の影響の程度を示している。

また、(5)式の線型性の検証は、

① 1 投入点での単位負荷量の 2 倍量の投入

② 単位負荷量の 2 点投入

による汚濁シミュレーションにより行ない、その結果、線型性の成り立つことを確認した。なお、潮流計算、汚濁計算の基礎式、アルゴリズム等については参考文献<sup>4)</sup>に詳しいのでここでは省略し、その結果の潮流図および 11 個の投入点よりそれぞれ単位負荷量(1kg/sec)を同時に投入した場合の汚濁分布図を図 2、図 3 に示すにとどめる。

表. 2 影響マトリックス

0.1	4.0	1.1	2.0	0.3	0.3	0.3	1.5	0.3	0.2	0.8
0.0	0.2	0.0	0.0	0.2	0.3	1.6	2.1	3.4	3.0	1.2
0.4	0.1	0.4	0.1	0.0	0.0	0.0	0.0	0.0	0.0	0.0
0.2	0.4	0.3	0.3	0.1	0.0	0.0	0.3	0.0	0.1	0.0
0.1	0.1	0.2	0.2	0.0	0.1	0.1	0.2	0.1	0.1	0.1
0.0	0.0	0.0	0.0	0.0	0.0	0.0	0.3	0.8	1.0	1.8

### 3-2. 演算ケースおよび入力データ

2-2. 制約条件式と(6)～(11)式を考慮すると述べたが、モデル演算Kあたり、制約式の追加・変更により各地区各種の最適配分負荷量  $\Sigma_{ijk}$  がどのように変化するかを考察するため、以下 Kに記すようなケースの演算を行なった。

まず、海域での水質環境基準による制約(6)式と対象地域での家庭( $k=1$ )と工場( $k=2$ )の発生負荷量の比率に対する制約(8)式の2を制約条件式としたケース(ケース1, 4, 7, 8)を考えた。ついて、これらの制約に河川での環境基準による制約(7)式を追加したケース(ケース2, 5)を考え、さらに、水資源、土地、エネルギーからの制約(9), (10), (11)式を追加したケース(ケース3, 6)での演算を行なった。

また、海域の水質環境基準値  $C_A^*$  ( $k=1 \sim 6$ )と現行の基準値を用いた場合およびその半分の基準値を用い環境基準を厳しくした場合の2通りと、また、対象地域での家庭と工場の発生負荷量の比率の上下限と1では、 $(\delta_1, \delta_2) = (0.05, 0.5), (0.1, 1.0)$  の2通りの場合を考えた。(現況の家庭と工場の発生負荷量の比率は約0.2である。)

一方、目的函数(12)式における各地区各種の発生負荷量にかかるウェイト  $\varphi_{ijk}$  と1では、ここではKの2つの函数  $\varphi_k$  を考え、 $\varphi_1 : \varphi_2 = 1:1$  とした。(このウェイトの比率を変化させた場合の検討は参考文献2)で行なってある。)

以上の演算ケースを表.3に、演算に用いた他の入力データを表.4にまとめて示す。

### 3-3. 演算結果とその考察

表.3に示す演算ケースのうち、ケース1, 2, 3の演算結果を表.5に示す。表.5には、各地区各種への最適負荷配分量  $\Sigma_{ijk}$  (以下、許容発生負荷量とよぶ)、最適負荷配分の結果としての各投入点よりの海域への投入負荷量および海域の各基準点での水質等が示してある。

ケース1で負荷発生が許容される地区は  $(i, j) = (3, 1), (4, 1), (7, 1)$  と河川の最上流の地区だけである。これは、制約1と負荷発生の家庭( $k=1$ )と工場( $k=2$ )への配分比率に対する制約(8)式と海域での水質環境基準による制約(6)式の2を考え、河川での環境基準による制約(7)式を考

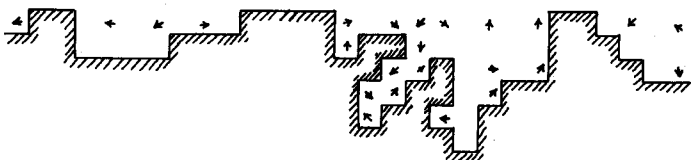


図.2 潮流図

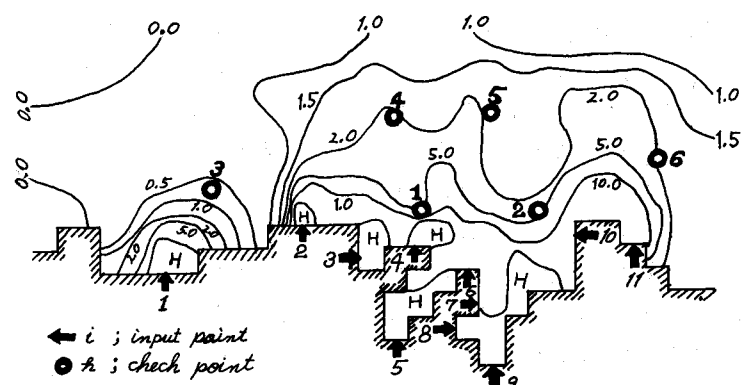


図.3 汚濁分布図

表.3 演算ケース

ケ イ ス	$C_A^*$ (ppm)	$L_{ij}$	$\delta_1, \delta_2$		$SW^*$ (m²)	$ST^*$ (m²)	$SE^*$ (km²)	$\varphi_k$ $k=1, k=2$
			$\delta_1$	$\delta_2$				
1 4 1	-	0.05	0.5	-	-	-	-	1 1
2 4 1	表	0.05	0.5	-	-	-	-	1 1
3 4 1	4	0.05	0.5	$1 \times 10^6$	$2.5 \times 10^7$	$2 \times 10^6$	-	1 1
4 8 2	-	0.05	0.5	-	-	-	-	1 1
5 8 2	表	0.05	0.5	-	-	-	-	1 1
6 8 2	4	0.05	0.5	$1 \times 10^6$	$2.5 \times 10^7$	$2 \times 10^6$	-	1 1
7 4 1	表	0.1	1.0	-	-	-	-	1 1
8 8 2	4	0.1	1.0	-	-	-	-	1 1

表.4 入力データ

$i, j$	$\Sigma_{ijk}$	$i=1$	$i=2$	$i=3$	$i=4$	$i=7$
1 1	1.0	1.0	-	-	-	-
2 1	1.0	1.0	-	-	-	-
3 1	0.4	1.0	-	-	-	-
3 2	0.4	1.0	-	-	-	-
3 3	0.4	1.0	-	-	-	-
4 1	1.0	1.0	-	-	-	-
4 2	0.4	1.0	-	-	-	-
4 3	0.4	1.0	-	-	-	-
5 1	1.0	1.0	-	-	-	-
6 1	1.0	1.0	-	-	-	-
7 1	0.4	1.0	-	-	-	-
7 2	0.4	1.0	-	-	-	-
7 3	0.4	1.0	-	-	-	-
8 1	1.0	1.0	-	-	-	-
8 2	1.0	1.0	-	-	-	-
8 3	1.0	1.0	-	-	-	-
8 4	1.0	1.0	-	-	-	-
8 7	1.0	1.0	-	-	-	-
9 1	1.0	1.0	-	-	-	-
10 1	1.0	1.0	-	-	-	-
11 1	1.0	1.0	-	-	-	-
$u_{ij1} = 0.19$						
$u_{ij2} = 0.45$						
$u_{ij3} = 0.064$						
$u_{ij4} = 0.30$						

表.5 演算結果

	ケース1		ケース2		ケース3	
	k=1	k=2	k=1	k=2	k=1	k=2
1,3	0	0	0	204,344	0	215,345
1,1	0	0	0	0	0	0
2,1	0	0	0	0	0	0
1	149,0086	119,6608	1000	0	1000	0
3	2	0	742	0	0	0
4	0	0	3038	0	3520	0
(合)	1	0	87442	393	0	0
4,2	0	0	850	0	1125	0
3	0	0	0	0	0	0
5,1	0	0	0	430,015	137,941	172,347
6,1	0	0	54,060	58,080	0	0
1	0	164,418	1375	0	0	0
7,2	0	0	158	0	0	0
3	0	0	293	0	0	0
4	0	0	0	0	0	0
8,1	0	0	0	0	0	0
9,1	0	0	0	0	0	0
10,1	0	0	0	22,926	0	0
11,1	0	0	0	0	0	0
合計	149,0086	129,80168	61,909	123,8165	19,385	38,762
Lijk	1	—	400*	400*	400*	400*
3	2	—	477*	180	180	180
4	1	—	1525*	1525*	1525*	1525*
(合)	2	—	157*	0	0	0
Xij	1	—	450*	450*	450*	450*
7	2	—	550*	0	0	0
3	—	173*	0	0	0	0
i=1	2	0	204,344	0	215,345	0
3	0	0	0	0	0	0
4	25,044	—	180	180	180	180
Xij	5	0	430,015	0	185,087	0
(合)	6	0	63,940	0	0	0
Zij	7	216,000	210	0	0	0
8	0	0	0	0	0	0
9	0	0	0	0	0	0
10	0	0	22,926	0	0	0
11	0	0	0	0	0	0
R=1	2	4.0*	4.0*	0.91	0.91	0.91
Cik	3	4.0*	4.0*	0.43	0.43	0.43
(ppm)	4	1.0*	0.95	1.0*	1.0*	1.0*
5	0.82	1.0*	0.72	0.72	0.72	0.72
6	0.79	1.0*	0.25	0.25	0.25	0.25
SW (kg/day)	7	0.75	0.48	0.0	0.0	0.0
S-T (m³)	8	—	—	1.0*106*	1.0*106*	1.0*106*
SE (kg/day)	9	—	—	6.06*106	6.06*106	6.06*106
Σ許容発生負荷量	10	0.5*	0.05*	0.05*	0.05*	0.05*
J=ΣRk	11	44,70,249	1,30,00,67	40,70,77	40,70,77	40,70,77

[注] \*印は制約限度一杯の値であることを示す。

えなかつたためである。すなわち、河川での環境基準による制約がないため、河川流下過程で自淨作用等を代表している流出率  $b_{ij}$  による負荷の自然的カットが行なわれるこにより、同量の負荷発生を許容しても、直接海域に負荷が投入される地区 ( $i=1, 2, 5, 6, 7, 8, 9, 10, 11$  の地区) に較べて海域の水質に与える影響が小さい上記の河川最上流域の地区でのみ負荷発生が許容されるという結果となつた。また、その許容量の上限は、海域での水質環境基準、特に、表.2の影響マトリックスにおいて  $i=3, 4, 7$  接入点からの影響を強く受ける  $i=1, 2, 3$  基準点での基準値により決定されつる。このことは、ケース1の海域の基準点での水質(表.5参照)が、 $k=1, 2, 3$  が基準値よりも大きい値となることより推定される。

次に、ケース2では、河川での環境基準による制約(7), (8), (9)式を追加したため、ケース1のように河川上流域での大きな負荷発生が許容されなくなり、負荷発生が許容される地区的分散がおこつている。すなわち、表.5の  $L_{ijk}$  の値からわかるように、河川上流の地区 ( $i=3, 4, 7$  の地区) での発生負荷量は河川の環境基準により基準値よりも対応する量までしか許容されず、ケース1に較べて小さな値となつてゐる。そこで、その結果海域の水質環境基準点  $k=1, 2, 3$  での水質に余裕が生じ、その余裕に対応する負荷発生が  $i=1, 5, 6, 10$  の地区に許容されるという結果になつてゐる。なお、ケース2において新たに負荷発生が許容される地区は、表.2に示した影響マトリックスにおいて相対的に小さな値(影響係数)の並び列に対応する接入口の地区といえる。また、海域の水質環境基準点での水質立替ると、ケース1では  $k=4, 5, 6$  にやや余裕があつたのに對し、ケース2では  $k=3$  にやや余裕があり、 $k=6$  に大きな余裕が生じてゐる。

ケース3では、前述したようにケース2に水資源、土地、エネルギーによる制約(10), (11)式を追加した。その結果、負荷発生を許容される地区はケース2に較べて大きく減少し、特に、 $i=6, 7, 10$  の地区での許容発生負荷量は0となつてゐる。また、全流域での許容発生負荷量の総計も、家庭、工場ともケース2の約  $1/3$  となつてゐる。このように負荷発生が許容される地区、許容発生負荷量ともケース2に較べて大きく減少した理由は、水資源による制約がもつたためである。(このことは、表.5の SW の欄で全地域での水資源使用量が限度一杯の値となつてることより推定される。) また、河川、海域の環境基準点では、河川の  $(k, i) = (3, 1)(3, 3)(4, 2)$ 、海域の  $k=3$  を除き、流域負荷量、水質に余裕が生じてゐる。

ケース1, 2, 3 の全流域での許容発生負荷量の総計は、ケース1で約447万kg/day、ケース2で約130万kg/day、ケース3で約41万kg/day と制約条件が増すに従って小さくなつてゐる。一方、家庭( $k=1$ )と工場( $k=2$ )への許容発生負荷量の配分比率は、ケース1, 2, 3で、それが  $0.5, 0.05, 0.05$  である。

以上、ケース1, 2, 3 の演算結果の考察を行なつて來たが、以下に他のケースの演算結果をケース1, 2, 3 と比較して簡単にまとめる。

・ケース4：負荷発生が許容される地区はケース1と全く同じで、 $L_{ijk}, X_{ij}, C_{ik}, J$  とケース1の2倍の値となつてゐる。これは、海域の水質環境基準点での基準値がケース1の2倍の値であるためである。

- ・ケース5：負荷発生が許容される地区はケース2と全く同一である。各地区の許容発生負荷量について2倍3と、河川の環境基準による制約をうける地区はケース2と同一の値であり、それ以外の地区はケース2の2倍の値となる。この理由はケース4と同様である。
- ・ケース6：水資源による制約が強すぎ、海域、河川の環境基準からの制約との整合性がとれず有意な結果がでなかつた。
- ・ケース7、8：それぞれケース2、5に較べ、負荷発生が許容される地区および地域全体での許容発生負荷量の総計は同じであるが、工場( $k=2$ )の許容発生負荷量が約半分に減少し、その分家庭( $k=1$ )の許容発生負荷量が増加している。

#### 4. おわりに

公共水域の水質環境を地域・都市計画の要素として取り扱い、計画対象地域の公共水域の容量を考慮した地域・都市計画作成プロセスの一環として、我々は、すでに河川の水質環境を考慮した地域（支流域）水分配問題を考察<sup>56)</sup>してきたが、本稿では、海域および河川の環境等を考慮した地域負荷配分モデルの提示を行ない、そのモデルの適用例を示した。この結果、公共水域の水質環境等からみた各地区各種の許容発生負荷量が得られ、この許容発生負荷量を制約として地域の利水計画をはじめとする各種計画を策定するという、公共水域の環境を考慮した地域・都市計画の一方法を示唆したと考える。

しかし、本稿の問題点としては、システム方程式、制約式、目的函数の妥当性がまずあげられ、次に、制約式に用いるものとして以下の点があげられる。

- i) 水資源、土地、エネルギーからの制約を対象地域全域で考えたが、とくに土地に関しては、各地区毎に考えるのが妥当であろう。
- ii) 土地、エネルギーの制約を工場についてのみしか考えなかつたが、これらの制約に加えて、居住可能面積等を用いることにより水資源と同様に家庭についても考える必要がある。
- iii) 本稿では、工業業種を一業種（紙・パルプ）で代表させ工場( $k=2$ )の各種負荷原単位( $U_{ij2}, U_{ij3}, C_{ij2}$ )として表4に示す値を用いたが、これらの原単位は業種毎に大きな差があり、対象地域によつては、工場( $k=2$ )を更に細かく分類し、業種毎に考える必要がある等。

本稿では、地域負荷配分モデルの提示に重点をおき、モデルの適用例では制約式の追加・変更により各地区各種の許容発生負荷量会 $\Sigma_{ijk}$ がどのように変化するかの考察を中心としたため、これらの問題点を残しておいたが、実際問題への適用にあたつては、これらの問題点についての考慮が必要であろう。

また、本稿で提示した地域負荷配分問題において、問題を海域の環境基準点の水質と海域への投入（流出）負荷量の関係、河川の環境基準または土地、水資源、エネルギーの供給可能量等の制約を含んだ海域への投入（流出）負荷量と発生負荷量との関係という2つのプロックにわけ、分解原理を適用したほうが、海域の水質環境と沿岸部または河川流域部の活動との関係を考察する上での対応がより明確になると考えられる。

なお、本稿では、下水道の整備を考えなかつたが、下水道整備計画のある場合には、システム方程式にその整備による負荷の人為的カットおよび処理場よりの放流負荷を(1)式または参考文献6)に示したよう有効モデル式によって導入することにより、本稿のモデルおよび演算手法がそのまま適用可能であると考える。

#### [参考文献]

- 1) 堀武・萩原良巳：下水道計画の策定過程とその周囲、土木技術32巻5号、1977
- 2) 萩原良巳・上田青世・中川芳一・辻本善博・萩原清子：下水道整備計画に関するシステム論的研究アーティкуルに水質環境を考慮した地域負荷配分について、土木学会第13回衛生工学研究討論会講演論文集、1977
- 3) 上田青世・萩原良巳・中川芳一・辻本善博：海域の水質保全のための沿岸地域負荷配分モデルに適用する一考察、土木学会第31回年次学術講演会、1976
- 4) 萩原良巳・中川芳一・下水道整備計画に適用するシステム論的研究アーティкуルに海のせいについて、土木学会第12回衛生工学研究討論会講演論文集、1976
- 5) 萩原良巳・中川芳一・下水道整備計画に適用するシステム論的研究アーティкуルに水環境からみた支流域水質配分について、同上
- 6) 萩原良巳・中川芳一・辻本善博・下水道整備計画に適用するシステム論的研究アーティкуルに下水道整備率をパラメータとしたときの支流域水質配分について、土木学会第13回衛生工学研究討論会講演論文集、1977